

نقش اعضای پیرامونی در رفتار پانل‌های برشی خمیده

سهیلا پیروی

دانشگاه امیرکبیر، تهران، ایران

صالح امین یاوری

دانشگاه آزاد اسلامی واحد چالوس، چالوس، ایران

* محمدتقی مهدوی*

دانشگاه آزاد اسلامی واحد مراغه، مراغه، ایران

tmfmahdavi@gmail.com

تاریخ دریافت: ۹۴/۰۷/۱۹ تاریخ پذیرش نهایی: ۹۴/۱۱/۱۹

چکیده:

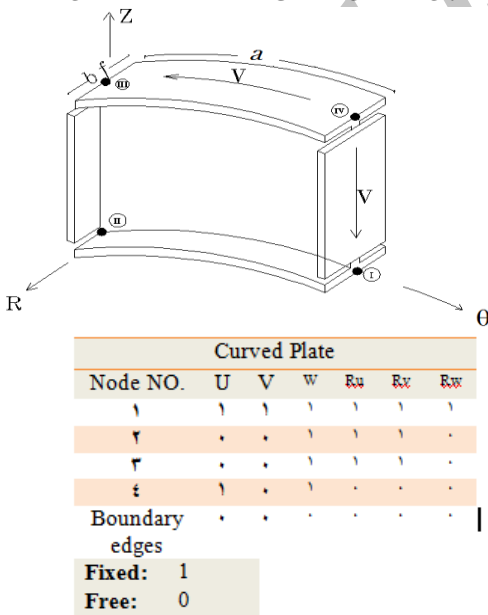
در سال‌های گذشته مطالعه ورق‌های جدار نازگ مسطح و انواع مسائل مربوط به آن مورد توجه بوده و این در حالیست که مطالعات منسجمی در رابطه با فرمول‌بندی رفتار ورق‌های خمیده وجود ندارد. بنابراین با توجه به رشد روزافزون استفاده از پانل‌های خمیده در زمینه‌های مختلف، در این تحقیق، اثر سختی پیچشی، خمشی و محوری اعضای پیرامونی بر روی رفتار کمانش برشی و پس‌کمانشی پانل‌های فولادی برشی خمیده با استفاده از نرم‌افزار ABAQUS و روش Riks بررسی شده است. بر طبق نتایج بدست آمده، سختی خمشی و محوری تاثیری بر افزایش مقاومت کمانشی پانل‌ها ندارند درحالیکه سختی پیچشی بر مقاومت کمانشی الاستیک پانل‌ها موثر است. رفتار غیرخطی پانل‌ها تابع نسبت سختی اعضای پیرامونی به سختی پانل است. سختی اعضای پیرامونی بر ظرفیت پس از کمانش و روند گسترش تنش های اصلی پانل‌ها تاثیر ندارند.

کلید واژگان: پانل‌های خمیده، کمانش برشی، اعضای پیرامونی، ظرفیت پس از کمانش.

۱- مقدمه

۳- هندسه مدل، بارگذاری و شرایط پیرامونی

در این تحقیق تحلیل عددی با استفاده از نرم افزار المان محدود [10] ABAQUS v6.10 و روش Riks انجام شده است. اغلب به دست آوردن راه حل های غیرخطی تعادل استاتیکی برای مسایل ناپایدار که در آنها پاسخ جا به جایی بار می تواند غیر خطی و پیچیده باشد، ضروری است (یعنی در طول دوره پاسخ، بار و/یا جا به جایی ممکن است در حین حل کاهش یابد). روش اصلاح شده Riks الگوریتمی در آباکوس است که اجازه می دهد تا راه حل موثر برای این مواردشکل بگیرد. شکل کلی پانل های تحلیل شده در شکل ۱ مشاهده می شود. از آنجایی که المان ها مورد استفاده در پانل S4RShell هستند، لذا به عنوان بار دلخواه به گره های میانی بار واحد و به ۴ گره گوشی ای باری معادل ۰.۵ واحد به صورت برشی اعمال می شود. در طول لبه های پانل، اعضای پیرامونی عمود بر لبه پانل تعییه شده است. برای بررسی اثر سختی اعضای پیرامونی بر رفتار پانل ها، یک پارامتر متغیر و پارامترهای دیگر ثابت نگه داشته می شود. با توجه به اینکه برای مدل سازی اعضای پیرامونی با المان Shell لازم است خاصامت (t_f) و ارتفاع (h) اعضا مشخص شوند، نمی توان به راحتی تنها یک پارامتر را بدون تغییر سایر پارامترها تغییر داد. بنابراین برای آنکه بتوان فقط یکی از پارامترها را تغییر داد، از المان Beam استفاده می گردد. سپس برای ادامه تحقیق، صحت نتایج تحلیل با در نظر گرفتن اعضای پیرامونی مستطیلی به ارتفاع $h=200$ میلیمتر بررسی شده است.

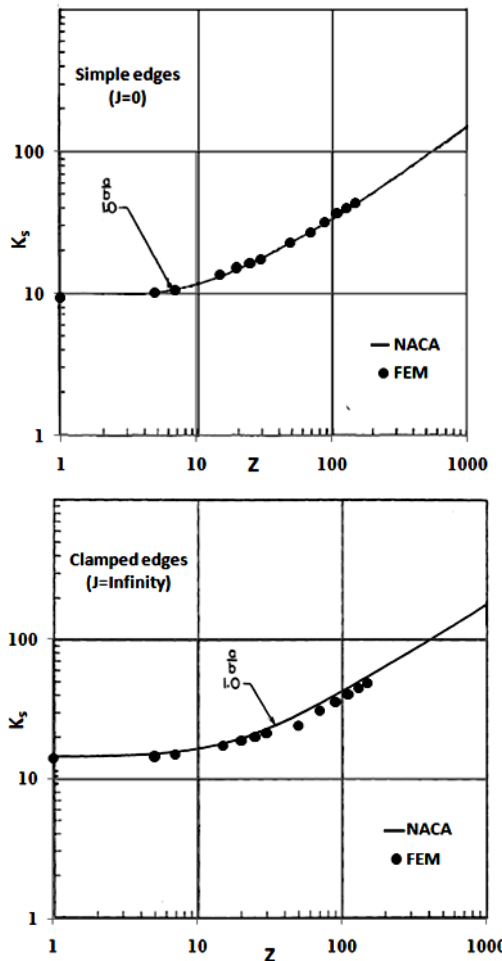


شکل ۱- نحوه تعریف شرایط پیرامونی برای برش خالص

ورق های دارای خمیدگی در افق، کاربردهای متعددی در پل - های ساخته شده از تیر ورق، ساختمان ها و سازه های هوافضایی و نیز دریایی دارند. در ورق های فولادی اگر تنش فشاری به مقدار بحرانی خود برسد کمانش می کنند. این امر به پارامترهای مختلفی از جمله ابعاد و شرایط مرزی ورق بستگی دارد. معمولاً ورق ها به عنوان اجزای تشکیل دهنده یک سازه به کار می روند و نحوه اتصال آن ها به اعضای مجاور و سختی مجموعه اعضای متصل به آنها تعیین کننده شرایط مرزی ورق ها می باشد. این امر با شرایط تکیه گاهی ساده که معمولاً در طراحی در نظر گرفته می شود در تضاد است. بنابراین با توجه به رشد روزافزون استفاده از پانل های خمیده در زمینه های مختلف و توجه به این امر که شرایط مرزی این پانل ها در سازه های مختلف با توجه به شرایط متفاوت است، در این تحقیق به بررسی اثر سختی پیچشی، خمشی و محوری اعضای پیرامونی بر روی رفتار کمانش برشی و پس کمانشی پانل های فولادی برشی خمیده با اتحنا و ابعاد هندسی مختلف پرداخته شده است.

۲- مروری بر تحقیقات انجام شده

۱۵۰ سال پیش [1] Fairban با انگیزه طراحی پل های با مقطع لو لمای مطالعه کمانش ورق های خمیده را آغاز کرد. Badtrot [2] و سپس Stein [3] و هم کارانش موفق شدند که تابع تغییر شکل پانل های برشی خمیده در افق را هنگامی که هر چهار لبه ای آن دارای شرایط تکیه گاهی ساده باشد، بدست آورند. Legget [4] کمانش برشی در پانل های خمیده را مورد بررسی قرار داد و راه حلی را برای نووارهای بلند با اتحنا کم تحت بار محوری و با شرایط تکیه گاهی ساده یا را با استفاده از معادلات دیفرانسیل Dean بیان کرد. Kromm [5] این راه حل را برای بازه بزرگتری از اتحناها با شرایط تکیه گاهی ساده گسترش داد. تطابق خوبی بین این تحقیق و کار Batdorf [6] و هم کارانش وجود دارد. همچنین Kuhn و Levin [7] بر منای آزمایش هایی که انجام دادند روابطی را برای تعیین تنش برشی بحرانی ورق های خمیده بدست آورند و Chiarito [8] آزمایش هایی را برای تعیین مقاومت برشی ورق های خمیده تقویت شده انجام داد. همچنین در سال های اخیر [9] Edlund مطالعاتی را در زمینه رفتار غیرخطی کمانشی و پس کمانشی پوسته های خمیده انجام داده است. Martins [11] مطالعه عددی در رفتار پس کمانش پانل های خمیده استوانه ای کوتاه با تکیه گاه ساده را بررسی کردند. C.Bisagni [12] فرمول تحلیلی برای کمانش موضعی و تجزیه و تحلیل پس کمانش پانل ها دادند. F.Tornabene و هم کاران [13] تجزیه و تحلیل استاتیک پانل های کامپوزیت چند لایه خمیده و تقویت شده توسط الیاف خمیده ارایه کردند.



شکل ۲: مقایسه ضرایب تنش برشی عددی و تئوریک تنش برشی بحرانی پانل‌ها پارامتر خمیدگی مختلف (نمودار قسمت بالا برای شرایط تکیه گاهی ساده و قسمت پایین گیردار)

۵- اثر سختی اعضای پیرامونی بر رفتار کمانش برشی پانل‌های خمیده

در اشکال ۳ تا ۵ اثر سختی‌های مختلف بر میزان افزایش مقاومت کمانشی بین دو حالت حدی ($0 \rightarrow \infty$) (سختی) و (بینهایت \rightarrow سختی) را نشان می‌دهد. در صد افزایش ضریب بار کمانشی با γ نشان داده شده است که K_{\min} ضریب بار کمانشی پانل با سختی مینیمم اعضای پیرامونی و K_{\max} ضریب بار کمانشی پانل با سختی ماکزیمم اعضای پیرامونی است.

$$(5) \quad \gamma = \frac{K_{\max} - K_{\min}}{K_{\min}} \times 100$$

همانگونه که در شکل ۳ مشاهده می‌شود با افزایش سختی محوری، در پارامترهای خمیدگی کم ضریب بار بحرانی کمانشی ۲٪ افزایش می‌یابد و با افزایش پارامتر خمیدگی این میزان به ۸٪ می‌رسد.

رفتار فولاد به صورت الستیک-کاملاً پلاستیک با خواص مکانیکی تنش جاری شدن $F_y = 345 \text{ MPa}$ ، ضریب پواسون $\nu = 0.3$ و ضریب ارجاعی مصالح $E = 200 \text{ GPa}$ در نظر گرفته شده است. ارتفاع و ضخامت پانل‌ها در تمام نمونه‌ها ثابت و برابر $t_w = 3 \text{ mm}$ است. در این تحقیق پانل‌هایی با پارامتر $Z = 150$ تا $Z = 1$ در نظر گرفته شده است. پارامتر خمیدگی $\beta = \frac{a}{b}$ با نسبت جانبی $a/b = 0.5, 0.75, 1$ در نظر گرفته شده است. پارامتر خمیدگی (Z) پانل‌های خمیده با شعاع r برای در نظر گرفتن تأثیر انحنای افقی به صورت زیر تعریف می‌شود:

$$(1) \quad Z = \frac{b^2}{r t_w} \sqrt{1 - \nu^2}$$

ابعاد مشن باید به اندازه‌ای باشد که منجر به نتایج قابل قبول گردد و زمان انجام آنالیز نیز معقول باشد. آنالیز حساسیت بر روی یک پانل مربعی خمیده در افق به ابعاد $1000 \times 1000 \times 3 \text{ mm}$ انجام شده و مشتمل‌باشد ابعاد هر جز معادل $20 \times 20 \text{ mm}$ می‌باشد بدست آمده است.

برای بررسی اثر سختی خمی، پیچشی و محوری اعضای پیرامونی، پارامترهای زیر که نسبت سختی اعضای پیرامونی به سختی پانل هستند در نظر گرفته شده است.

$$(2) \quad \alpha = \frac{GJ}{\frac{Et_w^3}{12(1-\nu^2)}}$$

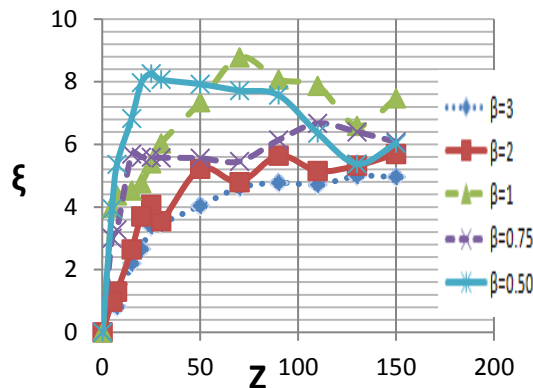
$$(3) \quad \beta = \frac{EI}{\frac{Et_w^3}{12(1-\nu^2)}}$$

$$(4) \quad \lambda = \frac{EA}{\frac{Et_w^3}{12(1-\nu^2)}}$$

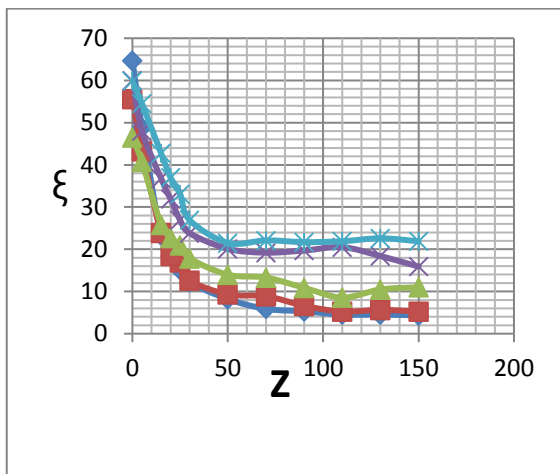
که در آن α ، β و λ به ترتیب بیانگر نسبت سختی پیچشی (GJ)، خمی (EI) و محوری اعضای پیرامونی به سختی صفحه (D) هستند.

۶- بررسی صحبت مدل‌ها و نتایج بدست آمده

سازمان [2] NACA، نمودارهایی را برای ضریب بار بحرانی کمانش برشی پانل‌های خمیده با شرایط تکیه‌گاهی ساده و گیردار (K_s) در مقابل پارامتر خمیدگی رسم نموده است. در شکل ۲ ضرایب تنش برشی بحرانی که از آنالیز عددی بدست آمده‌اند با ضرایب تئوریک ارائه شده توسط NACA مقایسه شده‌اند. همان‌طور که مشاهده می‌شود تطابق بسیار خوبی بین این دو دیده می‌شود و به این ترتیب صحبت مدل‌ها تایید می‌شود.



شکل ۴ - میزان افزایش ضریب بار کمانشی با افزایش سختی خمشی



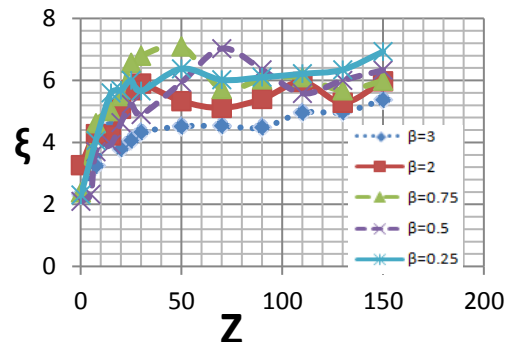
شکل ۵ - میزان افزایش ضریب بار کمانشی با افزایش سختی پیچشی

۶ - اثر سختی اعضای پیرامونی بر رفتار پس از کمانش

برشی پانل‌های خمیده

در پانل‌هایی با پارامتر خمیدگی زیاد، ناپایداری رفتار پانل‌ها و کاهش بار پس از کمانش در حدی است که حداقل باربری پانل برابر با مقاومت کمانشی آن می‌باشد. این پانل‌ها حتی هنگامی که اعضای پیرامونی بیشترین سختی را دارند، یا از خود مقاومت پس از کمانش نشان نمی‌دهند یا مقاومت پس از کمانش بسیار ناچیزی دارند.

بنابراین، اگرچه با افزایش سختی محوری مقدار پانل‌ها افزایش می‌یابد، اما این افزایش ناچیز و قابل صرف‌نظر کردن است. در شکل ۴ مشاهده می‌شود که در پارامترهای خمیدگی کم، تاثیر سختی خمشی به سمت صفر میل می‌کند و با افزایش پارامترهای خمیدگی این مقدار به حدکثر ۹% می‌رسد. به عبارتی افزایش سختی خمشی، تاثیری بر افزایش مقاومت کمانشی پانل‌ها ندارد. در شکل ۵ اثر سختی مقدار پانل‌ها بستگی به نسبت جانبی آن‌ها دارد. بطور مثال در حالت $Z=1$ میزان پانل‌ها برای نسبت‌های جانبی ۰.۵، ۱، ۳ به ترتیب ۶۰، ۴۵، ۴۰ درصد می‌باشد. همچنین با افزایش پارامتر خمیدگی، اثر سختی پیچشی بر پانل‌ها کاهش می‌یابد. این کاهش در پانل‌ها با افزایش نسبت جانبی با سرعت بیشتری تغییر می‌کند به طوری که در حالت پانل با نسبت جانبی ۰.۵ و ۳ به ترتیب به $\frac{1}{3}$ و $\frac{1}{14}$ کاهش می‌یابد و در پانل‌ها با $Z \geq 50$ با نسبت جانبی بزرگتر از یک، می‌توان از مقدار پانل‌ها صرف نظر کرد. همچنین نتایج حاکی از این است که در پانل‌ها با $Z \geq 50$ در یک نسبت جانبی ثابت، پانل‌ها تقریباً ثابت باقی می‌مانند. در نهایت می‌توان نتیجه گرفت که افزایش سختی پیچشی اعضاً پیرامونی بر مقاومت کمانشی الاستیک پانل‌ها موثر است و این افزایش حدکثر ۶۵ درصد می‌باشد. بنابراین صرفاً افزایش سختی پیچشی اعضاً پیرامونی برای افزایش مقاومت کمانشی معقول نیست و باید از راهکارهای دیگر مانند استفاده از ساخت کننده‌های عرضی و طولی مورد توجه قرار گیرد.



شکل ۳ - میزان افزایش ضریب بار کمانشی با افزایش سختی

جدول ۱ - اثر سختی اعضای پیرامونی روی قابلیت باربری پانل با $Z=5$

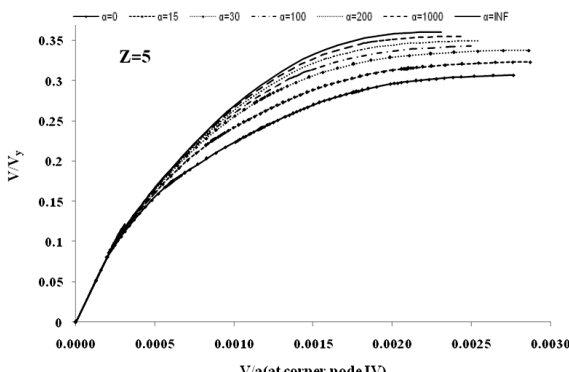
پارامتر خوبیگی $Z=5$	نسبت جانبی	$\beta=1$									
		$\alpha=0$	$\alpha=5$	$\alpha=50$	$\alpha=1000$	$\alpha=3000$	$\alpha=10000$	$\alpha=\text{INF}$	$\lambda=0$	$\lambda=\text{INF}$	$\omega=0$
	نسبت سختی اعضای پیرامونی به سختی صفحه	49.55	59.625	61.36	64.67	66.75	70.18	70.86	67.785	70.33	68.57
	مقاومت کمانشی	124.55	123.85	130.3	130.10	131.80	131.49	133.80	123.69	130.203	134.56
	مقاومت پس کمانشی	1741	183.47	191.70	194.80	198.50	201.67	204.70	191.48	200.533	203.13
	مقاومت نهایی										214.23

تمام واحدها بر حسب کیلو نیوتون و متر میباشد

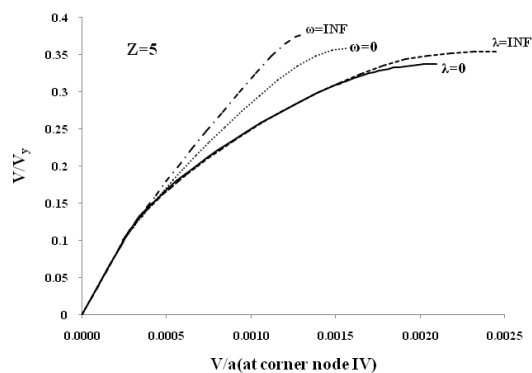
جدول ۲ - اثر اعضای پیرامونی روی قابلیت باربری پانل های خمیده

۱۵	۹	۶	۳	۰	T_b/t_w	β	Z
۳۵۰۰	۷۵۶	۲۲۴	۲۸	۰	α		
۶۰,۰۶	۵۹,۴۳	۵۵,۸۸	۴۷,۹۶	۴۵,۶۱	مقاومت کمانشی	1	1
۱۱۵,۱۸	۱۱۴,۷۶	۱۱۷,۶۱	۱۱۸,۰۴	۱۰۶,۹۹	مقاومت پس کمانشی		
۱۷۵,۲۴	۱۷۴,۱۹	۱۷۳,۴۸	۱۶۶,۰۰	۱۵۲,۶۰	مقاومت نهایی		
۴۹,۰۲	۴۷,۳۲	۴۲,۹۵	۳۵,۵۴	۳۲,۱۶	مقاومت کمانشی	2	1
۹۴,۲۱	۹۵,۴۱	۹۸,۹۲	۹۱,۰۰	۸۴,۹۱	مقاومت پس کمانشی		
۱۴۳,۲۳	۱۴۲,۷۳	۱۴۱,۸۷	۱۲۶,۵۴	۱۱۷,۰۷	مقاومت نهایی		
۶۰,۳۷	۵۹,۲۵	۵۷,۲۱	۴۹,۳۶	۴۵,۶۰	مقاومت کمانشی	1	5
۱۱۰,۹۱	۱۱۱,۰۲	۱۱۰,۹۵	۱۰۸,۲۱	۱۰۴,۲۸	مقاومت پس کمانشی		
۱۷۱,۲۷	۱۷۰,۲۷	۱۶۸,۱۶	۱۵۷,۵۷	۱۴۹,۸۸	مقاومت نهایی		
۵۴,۳۴	۵۲,۶۸	۵۰,۰۳	۴۳,۶۶	۳۹,۰۵	مقاومت کمانشی	3	7
۹۴,۸۲	۹۵,۹۴	۹۳,۳۵	۸۷,۵۷	۸۴,۸۹	مقاومت پس کمانشی		
۱۴۹,۱۶	۱۴۸,۶۲	۱۴۳,۳۸	۱۳۱,۲۳	۱۲۳,۹۴	مقاومت نهایی		
۷۰,۸۲	۶۸,۷۳	۶۶,۸۱	۵۸,۲۸	۵۴,۰۶	مقاومت کمانشی	1	15
۹۳,۶۹	۹۴,۲۱	۹۳,۲۲	۹۲,۱۱	۸۷,۶۵	مقاومت پس کمانشی		
۱۶۴,۵۱	۱۶۲,۹۴	۱۶۰,۰۳	۱۵۰,۳۹	۱۴۱,۷۱	مقاومت نهایی		
۶۰,۴۹	۵۷,۷۳	۵۶,۸۶	۴۸,۶۷	۴۱,۰۲	مقاومت کمانشی	2	15
۶۲,۵۵	۶۳,۵۱	۵۹,۳۳	۵۵,۲۲	۵۵,۷۹	مقاومت پس کمانشی		
۱۲۳,۰۴	۱۲۱,۲۴	۱۱۶,۱۸	۱۰۳,۸۹	۹۶,۸۱	مقاومت نهایی		
۹۷,۲۰	۹۶,۴۸	۹۵,۱۷	۹۰,۸۹	۸۶,۱۳	مقاومت کمانشی	0.75	20
۷۳,۶۰	۷۲,۲۲	۷۲,۸۶	۷۰,۳۴	۶۹,۶۲	مقاومت پس کمانشی		
۱۷۰,۷۹	۱۶۹,۶۹	۱۶۸,۰۳	۱۶۱,۲۳	۱۵۵,۷۵	مقاومت نهایی		
۸۴,۱۱	۸۲,۹۶	۸۰,۹۰	۷۵,۷۰	۶۸,۰۶	مقاومت کمانشی	1	25
۷۰,۵۰	۶۹,۸۸	۶۹,۹۳	۶۵,۷۸	۶۵,۶۷	مقاومت پس کمانشی		
۱۵۴,۶۱	۱۵۲,۸۴	۱۵۰,۸۳	۱۴۱,۴۸	۱۳۳,۷۳	مقاومت نهایی		

تمام واحدها بر حسب کیلو نیوتون و متر هستند



شکل ۶- منحنی نیرو تغییر مکان جانبی پانل با نسبت جانبی یک و سختی پیچشی مختلف



شکل ۷- منحنی نیرو تغییر مکان جانبی پانل با نسبت جانبی یک و سختی محوری مختلف

۷- اثر اعضای پیرامونی رفتار پس از تسلیم مصالح پانل های خمیده

در شکل ۸ نسبت بار اولین نقطه‌ی تسلیم مصالح به بار نهایی پانل های خمیده با نسبت جانبی یک، در مقابل پارامتر خمیدگی رسم شده است. هنگامی که ضخامت اعضای پیرامونی از دو برابر ضخامت پانل کوچکتر است، این نسبت با افزایش اندازه ابعاد پیرامونی کاهش می‌یابد. به عبارتی نقاط تسلیم شده در پانل‌ها با اعضای مرزی کوچکتر با سرعت بیشتری گسترش می‌یابد.

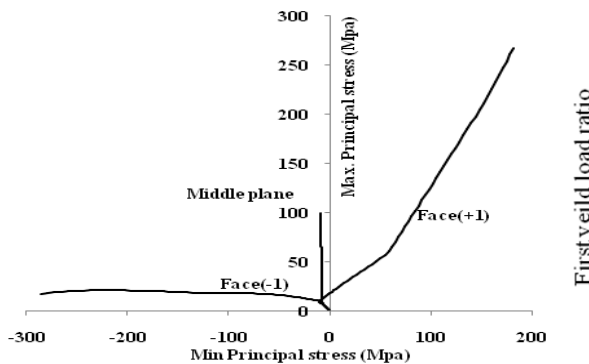
هنگامی که ضخامت اعضای پیرامونی از دو برابر ضخامت پانل بزرگتر است، این نسبت با افزایش اندازه ابعاد پیرامونی افزایش می‌یابد. به عبارتی نقاط تسلیم شده در پانل‌ها با اعضای مرزی بزرگتر با سرعت بیشتری گسترش می‌یابد. به عبارتی رفتار غیرخطی پانل‌ها تابع نسبت سختی اعضای پیرامونی به سختی پانل است.

منحنی نیرو در مقابل تغییر مکان جانبی گره IV پانلها پس از انجام تحلیل غیرخطی و استخراج نتایج برای پارامترهای خمیدگی و سختی‌های مختلف در اشکال ۶ و ۷ رسم شده و در جدول ۱ نتایج حاصل آورده شده است. از آنجا که تحلیل پانل‌ها با نسبت جانبی مختلف نتایج یکسانی را بدست می‌دهد، برای اختصار نتایج مربوط به پانل‌های با نسبت جانبی یک و V_y نیروی برشی وارد و V_y نیروی برشی حد جاری شدن مصالح و ابعاد هندسی پانل بستگی دارد و به شکل زیر قابل بیان است.

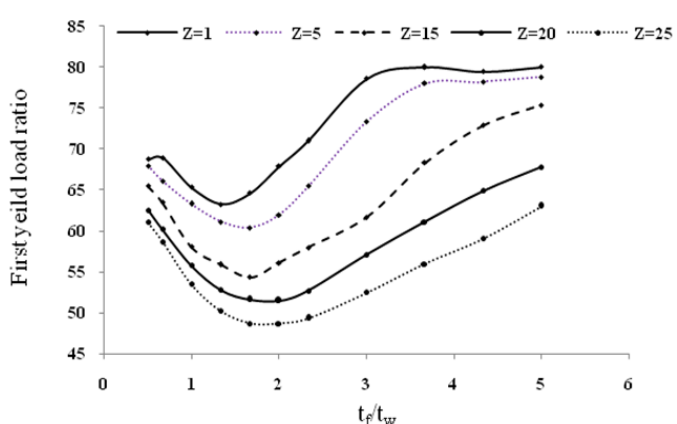
$$V_y = at\tau_y \quad (6)$$

τ_y ، تنش برشی حد جاری شدن می‌باشد که از تقسیم تنش جاری شدن مصالح بر $\sqrt{3}$ بدست می‌آید. اشکال ۶ و ۷ نشان می‌دهد که تا قبل از رسیدن به سطح بار کمانش پاسخ‌ها خطی است و سختی همه پانل‌ها یکسان است. به عبارتی سختی خمی، پیچشی و محوری اعضای پیرامونی تاثیری در سختی پانل‌های خمیده قبل از کمانش ندارند.

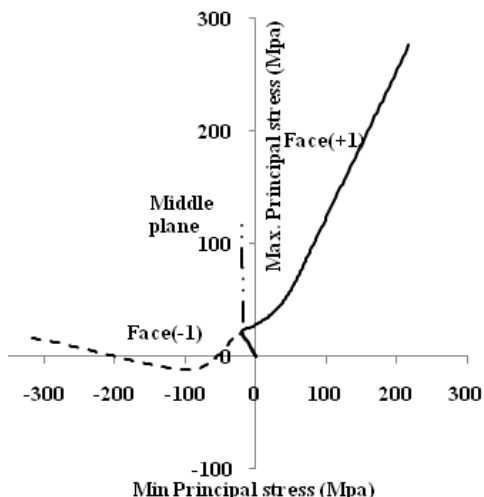
همان‌طور که در شکل ۶ مشاهده می‌شود، با افزایش سختی پیچشی اعضای پیرامونی، منحنی‌ها با موازی‌ها با مواتاز منحنی مربوط به ضعیف‌ترین حالت بوده و کل نمودار در بخش پس از کمانش، به اندازه افزایش ایجاد شده در بار کمانشی صفحه به سمت بالا حرکت کرده است و در نتیجه مقاومت پس از کمانش پانل‌ها با سخت تر شدن اعضای پیرامونی، تغییر چندانی نمی‌کند. همچنین نتایج نشان می‌دهد که با افزایش سختی خمی و محوری اعضای پیرامونی نیز مقاومت پس از کمانش پانل‌ها تغییر چندانی نمی‌کند. تغییر مختصی هم که با سخت‌تر شدن اعضای پیرامونی در مقاومت پس از کمانش مشاهده می‌شود به علت آن است که اعضای پیرامونی در مرحله پس از کمانش و به علت تغییر شکل زیاد جانبی صفحه در اطراف صفحه ایجاد خرپای ویراندل می‌کنند. در نتیجه اعضای پیرامونی ضعیف‌مانند اعضای پیرامونی قوی قادر به گسترش مقاومت پس از کمانش هستند و پانل‌ها برای گسترش مقاومت پس از کمانش نیاز به اعضای پیرامونی ندارند. در جدول ۲ صحت نتایج تحلیل با در نظر گرفتن اعضای پیرامونی مستطیلی به ارتفاع $h=200$ میلی‌متر بررسی شده است.



شکل ۹- بررسی تاریخچه تنش‌های اصلی در پانل، $Z=1$, $\beta=3$, $t_f=1.5\text{mm}$



شکل ۸- اثر اعضای پیرامونی بر نسبت بار اولین نقطه‌ی تسلیم مصالح به بار نهایی پانل‌ها با نسبت جانبی یک و پارامتر خمیدگی مختلف



شکل ۱۰- بررسی تاریخچه تنش‌های اصلی در پانل، $Z=5$, $\beta=1$, $t_f=15\text{ mm}$

۸- اثر اعضای پیرامونی در روند گسترش تنش‌های اصلی پانل‌های خمیده

در شکل ۹ و ۱۰ تاریخچه تنش‌های اصلی کششی و فشاری در نقطه میانی پانل، در مراحل مختلف بارگذاری نشان داده شده است. وجهی که به سمت اونها قرار دارد (-1) و وجه دیگر face($+1$) نامیده شده است. تا قبل از وقوع کمانش برشی، زاویه تنش‌های اصلی نسبت به افق در تمام نقاط 45 درجه می‌باشد و پس از کمانش، زاویه بین تنش‌ها افزایش می‌یابد. تنش اصلی فشاری face(-1) تقریباً ثابت است و تنش‌های اصلی وجه face($+1$) ماهیت کششی دارد. در صفحه میانی ضخامت پانل نیز تنش‌های اصلی فشاری ثابت است و فقط تنش‌های اصلی کششی افزایش می‌یابد. همچوین نتایج نشان می‌دهد که اندازه و جهت تنش‌های اصلی تغییر می‌کند و زاویه بین آن‌ها برای رسیدن به تعادل کاهش می‌یابد. بنابراین پانل‌ها برای گسترش مقاومت پس از کمانش نیاز به اعضای پیرامونی ندارند. این روند در پانل‌های با ضخامت اعضای پیرامونی مختلف یکسان است و فقط اندازه تنش‌های اصلی با افزایش ضخامت اعضای پیرامونی افزایش می‌یابد. به عبارتی نسبت سختی اعضای پیرامونی به سختی پانل تأثیری در روند گسترش تنش‌های اصلی پانل‌های خمیده ندارد.

۹- نتیجه‌گیری

رفتار کمانشی و پس‌کمانشی پانل‌های برشی خمیده با درنظر گرفتن اعضای پیرامونی بررسی شد. بر طبق نتایج بدست آمده، تغییر سختی اعضای پیرامونی اثری بر سختی اولیه پانل‌ها قبل از کمانش ندارند. افزایش سختی خمی و محوری تأثیری بر افزایش مقاومت کمانشی پانل‌ها ندارد در حالیکه افزایش سختی پیچشی اعضای پیرامونی بر مقاومت کمانشی الاستیک پانل‌ها موثر است. همچنین افزایش مقاومت پس از کمانش ناشی از افزایش سختی اعضای پیرامونی قابل صرف نظر کردن است. همچنین رفتار غیرخطی پانل‌ها تابع نسبت سختی اعضای پیرامونی به سختی پانل تأثیری در حالیکه نسبت سختی اعضای پیرامونی به سختی پانل تأثیری در روند گسترش تنش‌های اصلی پانل‌های خمیده ندارد.

مراجع ۱۰-

1. Athiannan, K., Palaninathan, R. (2004), "Buckling of cylindrical shells under transverse shear", *Thin-Walled Structures*, 42, 1307-1328.
2. Batdorf, S.B., Stein, M., Schildcrout, M. (1947), "Critical Shear Stresses of Long Plates with Transverse Curvature," NACA TN No. 1346.
3. Karman, Th. Von, Tsein, H. S. (1939), "The Buckling of Spherical Shells by External Pressure," *J. Aero. Sci.*, 43-50.
4. Leggett, D. M. A. (1937), "The Elastic Stability of a Long and Slightly Bent Plate under Uniform Shear," In: *Proceedings of the Royal Society*, A162, 62-83.
5. Kromm, A. (1939), "The Limit Stability of Curved Plate Strip under Shear and Axial Stresses," NACA TN No. 898.
6. Batdorf, S. B. (1947), "Simplified Method of Elastic-Stability Analysis for Thin cylindrical Shells," NACA TN No. 1342.
7. Kuhn, Paul, and Levin, L. Ross, (1944), "An Empirical Formula for the Critical Shear Stress of Curved Sheets," NACA WR L-58.
8. Chiarito, Patrick T., (1944), "Some Strength tests of Stiffened Curved Sheets Loaded in Shear," NACA WR L-259.
9. Edlund, B.L.O., (2007), "Buckling of metallic shells: buckling and postbuckling behavior of isotropic shells, especially cylinders," *Struct. Control Health Monit.*, 14, 693–713.
10. ABAQUS 6.10.1 reference manual, ABAQUS Inc.
11. J.P. Martins , L. Simões da Silva , A. Reis,(2014)" Ultimate load of cylindrically curved panels under in-plane compression and bending—Extension of rules from EN 1993-1-5", *Thin-Walled Structures* 77 (2014) 36–47.
- 12.C. Bisagni R. Vescovini(2009)" Analytical formulation for local buckling and post-buckling analysis of stiffened laminated panels" *Thin-Walled Structures* 47 (2009) 318–334
13. F.Tornabene,N. Fantuzzi, M. Bacciocchi ,(2016)" Higher-order structural theories for the static analysis of doublycurved laminated composite panels reinforced by curvilinear fibers ", *Thin-Walled Structures* 102 (2016) 222–245

The Role of Peripheral Members in the Performance of Curved Shear Panels

Sohyla Peyrovi

Amirkabir University of Technology, Tehran, Iran

Salehamin Yavari

CHALUS branch, Islamic Azad University, Chalus , Iran.

Taghi Mahdavi

Maragheh branch, Islamic Azad University, Maragheh, Iran.

Abstract:

In recent years, we have witnessed a considerable increase in the study of thin flat sheet and various issues related to it. However, comprehensive studies on the formulation of curved plates are rare. Due to the growing use of curved panels in various fields, in this study, the effects of torsional stiffness, bending stiffness and axial stiffness of the peripheral members on shear buckling and post buckling behavior of curved steel panels were investigated. To do this, ABAQUS software and Riks method were used. The findings revealed that flexural stiffness and axial stiffness do not increase buckling resistance of panels while the torsional stiffness on elastic buckling resistance of panels was found to be effective. The nonlinear behavior of panels is the function of stiffness ratio of peripheral members to stiffness of panels. Stiffness of peripheral members on capacity after buckling and development of principal stresses of panels were not affected.

Keywords: Curved Panels, Shear Buckling, Peripheral Members, Capacity after Buckling